

НОВЫЕ РАДИОЭЛЕКТРОННЫЕ СИСТЕМЫ И ЭЛЕМЕНТЫ

УДК 531.715.1

СИСТЕМА ЛАЗЕРНЫХ ИНТЕРФЕРОМЕТРОВ С БОЛЬШИМ ПРОСТРАНСТВЕННЫМ РАЗНЕСЕНИЕМ ДЛЯ ИЗУЧЕНИЯ СЕЙСМО-ДЕФОРМАЦИОННЫХ КОЛЕБАНИЙ ЗЕМЛИ

© 2023 г. М. Н. Дубров^a, *, И. А. Ларионов^b, Д. В. Александров^a, В. В. Кравцов^a

^a Фрязинский филиал Института радиотехники и электроники им. В.А. Котельникова РАН,
пл. Введенского, 1, Фрязино Московской обл., 141190 Российская Федерация

^b Институт космофизических исследований и распространения радиоволн ДВО РАН,
ул. Мирная, 7, с. Паратунка, Камчатский край, 684034 Российская Федерация

*E-mail: mnd139@ire216.msk.su

Поступила в редакцию 23.12.2021 г.

После доработки 26.01.2022 г.

Принята к публикации 25.02.2022 г.

Рассмотрены полученные в течение 2016–2020 гг. результаты уникальных экспериментов по синхронной регистрации колебаний земной поверхности тремя лазерными интерферометрами-деформографами, разнесенными на расстояние 6740 км: два 100-метровых лазерных деформографа (Фрязино Московская область) и один 18-метровый (пункт “Карымшина” Камчатский край). Показано, что частотно-стабилизированные и термоуправляемые лазеры, а также системы регистрации сдвигов интерферограммы компенсационного и модуляционного типов обеспечивают абсолютное инструментальное разрешение 0.1...0.01 нм.

DOI: 10.31857/S0033849423070033, EDN: WOPJFW

ВВЕДЕНИЕ

Среди экспериментальных методов и средств, используемых для исследования геофизических процессов, особое место занимают измерительные системы с пространственно разнесенными инструментами. Одной из важных задач обнаружения и идентификации сейсмических (акустических) явлений, которые можно квалифицировать, например, как предвестники или индикаторы процессов подготовки и развития крупного землетрясения, является способность системы выделять слабый полезный сигнал на уровне фоновых природных и антропогенных помех. Эти вопросы выходят на первый план, когда возникает проблема точного определения параметров слабого землетрясения или сейсмического события искусственного происхождения. Измерения деформаций твердой Земли, таких как расширение и сжатие, наклоны и сдвиги земной коры, являются фундаментальными методами исследования в геофизике, поскольку предоставляют для научного анализа первичную информацию о движениях геологической среды. Эти инструментальные методы [1–3] совместно с классическими гравиинерциальными системами сейсмического мониторинга открывают новые возможности комбинированной обработки одновременного измерения смещений и деформаций земли в поле сейсмической волны [4, 5]. Повыше-

ние точности регистрации сейсмических процессов, исследование природы и временной динамики сейсмо-деформационных волновых полей становится особенно плодотворными при использовании пространственно-разнесенных систем синхронно работающих приборов [6–9].

В данной работе представлены результаты уникальных экспериментов, включающих синхронную регистрацию сейсмо-деформационных колебаний земной поверхности тремя лазерными интерферометрами, находящимися на расстоянии 6740 км друг от друга и установленными в асейсмической (Московская обл.) и сейсмически активной (Камчатский край) зонах. Предварительные результаты проводимых экспериментов были представлены на XI Международной конференции STRPEP-2020 в Паратунке [10]. В данной публикации приводится подробное описание используемых методов и инструментов, а также расширенный анализ регистрируемых данных и полученных результатов.

1. ЛАЗЕРНО-ИНТЕРФЕРОМЕТРИЧЕСКИЕ ИНСТРУМЕНТЫ И МЕТОДЫ ИЗМЕРЕНИЯ ЛИНЕЙНЫХ И СДВИГОВЫХ ДЕФОРМАЦИЙ

Волновые возмущения, возбуждаемые источником любой физической природы в сплошной

среде, можно представить в виде нестационарного векторного поля пространственных смещений ξ_k ($k = 1, 2, 3$) частиц среды. Смещения вызывают изменения давления или деформации среды в зависимости от ее реологических, механических и других физических свойств.

Простейшая задача детектирования акустической волны в жидкой или газовой среде решается путем измерения временных изменений давления в некоторой точке x_k ($k = 1, 2, 3$) внутри этой среды с помощью, например, микрофона, микробарографа и пр. Для регистрации направления и координат источника используют пространственно распределенную систему акустических датчиков.

Иные условия возникают в упругой сплошной среде. Ее уравнение движения

$$\begin{aligned} \partial^2 \xi_k / \partial t^2 &= \chi \partial^2 \xi_m / \partial x_k \partial x_m + \\ &+ q \partial^2 \xi_k / \partial x_l^2 \quad (k, m = 1, 2, 3) \end{aligned} \quad (1)$$

в левой части содержит вторые производные по времени компонент вектора смещений частиц, а в правой – комбинацию вторых производных по пространству смещений в некоторой заданной плоскости, например, $x_1 = 0$ (χ и q – размерные комбинации констант Ламе и материальных параметров среды).

В сейсмологии три составляющие вектора ускорения в левой части (1) измеряют акселерометрами. Трехкомпонентный датчик с известной диаграммой направленности может определять интенсивность волны и азимут источника колебаний. Локализация источника выполняется с использованием продольных и поперечных объемных волн (так называемых первичных Р и вторичных S сейсмических волн). Объем информации, получаемой от одного датчика, здесь увеличивается по сравнению с акустическим методом зондирования.

Данная работа направлена на повышение эффективности регистрации упругих волн в сплошной среде: применяем лазерные интерферометры, измеряющие напряжения (деформации) среды в правой части уравнения (1), которые описываются тензором второго ранга – шесть независимых компонент. Еще возрастает количество регистрируемых параметров и уравнений для их вычисления.

И далее мы применяем многокомпонентную лазерную тензометрическую антенну, состоящую из системы пространственно разнесенных лазерных интерферометров [6, 8], что позволяет наиболее полно реализовать преимущества разрабатываемого метода геофизического мониторинга.

В данной работе используем лазерные интерферометры-деформографы, регистрирующие изменения длины Δl выбранного базиса протяженностью l , относительная линейная деформация

определяется как $\epsilon = \Delta l / l$. Инструменты длиной 18 и 100 м установлены в двух пунктах наблюдения, отличающихся друг от друга и сейсмичностью, и тектонической активностью. Интерферометры на Фрязинском лучеводном полигоне (подземной лучеводной линии) [10–15] расположены в асейсмической зоне Московской синеклизы [16]. Мощность осадочного чехла в районе полигона составляет 1400...1600 м, крупный, опущенный на глубину 3...4 км участок кристаллического фундамента – Подмосковный авлакоген находится в 20...30 км от места установки интерферометров [10, 16]. Удаленный лазерный интерферометр-деформограф работает в сейсмоактивном регионе в зоне тектонического разлома у восточного побережья Камчатки [17, 18].

В экспериментах применяются два типа лазерных интерферометров (рис. 1). Неравноплечие интерферометры (см. рис. 1а и 1в) измеряют линейную деформацию, которая определяет изменения длины большого плеча и выражается в долях длины волны лазера. Равноплечий интерферометр (см. рис. 1б), построенный по классической схеме Майкельсона, измеряет разность деформаций в двух взаимно перпендикулярных направлениях, что соответствует поперечной деформации сдвига параллельно гипотенузе треугольника, образованного плечами этого интерферометра.

На Фрязинском лучеводном полигоне (далее – п. “Фрязино”) данные получены с использованием двух 100-метровых инструментов (см. рис. 1а и 1б) – неравноплечего интерферометра НРИ100 [15] и равноплечего РИ100 [11], расстояние между ними 400 м. Лазеры, оптические и электронные блоки расположены под землей на глубине около 1.5...2 м. Световые пучки проходят через наполненную воздухом подземную стальную трубу, которая частично связана с атмосферой.

Лазерный 18-метровый неравноплечий интерферометр НРИ18 (см. рис. 1в) установлен на поверхности земли на полуострове Камчатка (пункт комплексных геофизических наблюдений “Карымшина” [17, 18]). Оптические элементы смонтированы на обсадных трубах двух пятиметровых сухих скважин, расположенных на расстоянии 18 м друг от друга. Оптический путь экранирован герметичной трубой, которая защищена от ветра и осадков специальным укрытием.

Используются частотно-стабилизированные и термоуправляемые лазеры с длиной волны $\lambda = 632.8$ нм. В неравноплечих интерферометрах остаточная нестабильность частоты Δv вызывает погрешность при измерении деформаций:

$$\epsilon = \Delta l / l = \Delta v / v. \quad (2)$$

Относительная долговременная нестабильность частоты $\Delta v / v$ для используемых лазеров составляет $\sim 10^{-9}$ в течение часов и суток. Кратковременная

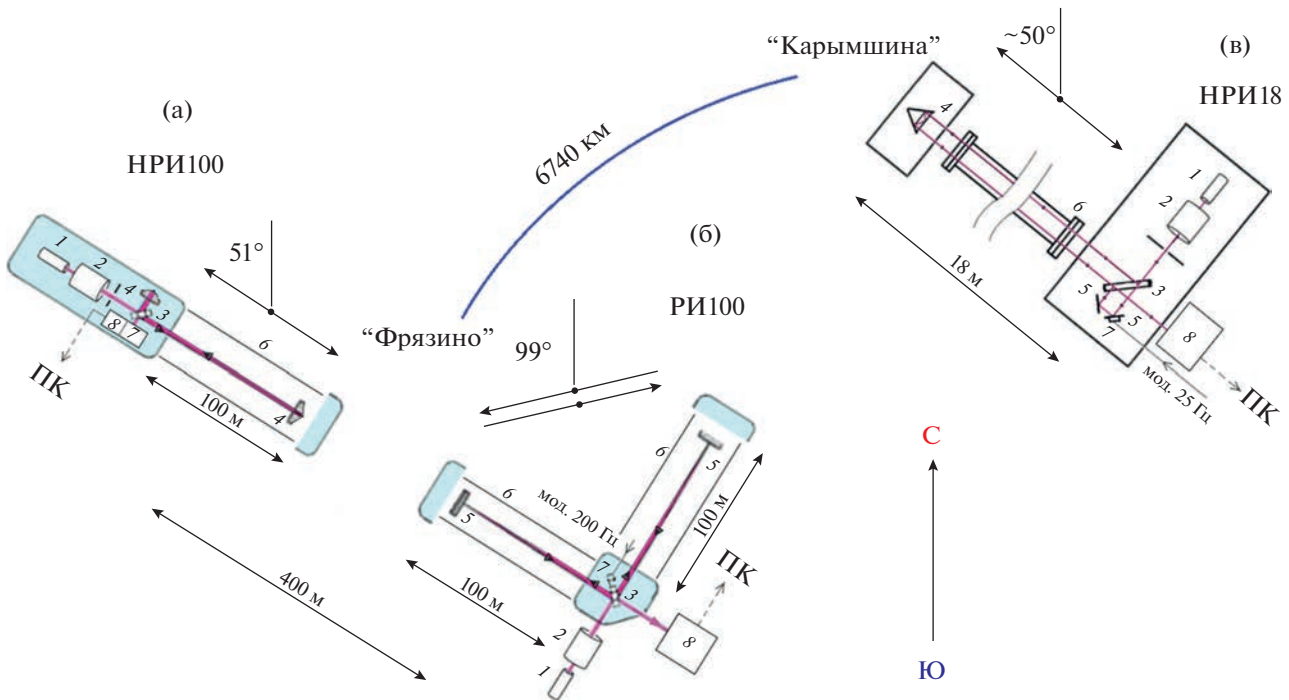


Рис. 1. Оптические схемы и ориентация в пространстве неравноплечих (а, в) и равноплечего (б) интерферометров-деформографов: 1 – лазер, 2 – коллиматор, 3 – светоотделяющая пластинка, 4 – триплекс-призменный отражатель, 5 – зеркало, 6 – защитная труба, 7 – зеркальный гальванометр или модулирующий электромеханический (пьезокерамический) преобразователь, 8 – фотоприемник.

точность интерферометра улучшается в схемах терморегулирования оптической длины лазера и интерферометра [19]. Отсутствие принудительной модуляции резонатора лазера снижает кратковременную ($1\ldots10$ с) нестабильность до 10^{-12} при установке приборов в условиях подземной линии, что соответствует погрешности измерения $0.01\ldots0.1$ нм для интерферометров длиной $10\ldots100$ м. При таких измеряемых величинах становятся эффекты обратного оптического рассеяния, которые на порядки снижают реальную точность измерений. Ограничение на уровень оптической обратной связи лазера и интерферометра имеет вид [20]

$$D_i G \ll K_i / t^2, \quad (3)$$

где $K_i = l_i / l$ – отношение длин лазера l_i и интерферометра l , t – коэффициент пропускания зеркала лазера, G – коэффициент отражения зеркал интерферометра, представляющий амплитуду волны TEM_{00} , D_i – параметр усиления эффекта обратной связи, зависящий от метода стабилизации частоты лазера [20].

Сдвиги интерферограммы измеряют системой регистрации (в трех вариантах), преобразующей изменение длины интерферометра Δl в электрический сигнал (рис. 2а–2в). Образцы этих сигналов для инструментов НРИ100, РИ100 и НРИ18,

результаты их обработки и примеры регистрации землетрясений приведены на рис. 3 и 4.

НРИ100 снабжен компенсационной регистрирующей системой (см. рис. 2а), содержащей прозрачно-отражающую решетку (растра) в качестве датчика положения интерферограммы и исполнительный механизм в виде малоинерционного зеркального гальванометра 7,двигающего изображение интерферограммы вдоль раstra [21]. Фотоприемник 8, усилитель УПТ 9 и интегратор 10, подключенные к зеркальному гальванометру, образуют систему автоматического регулирования со статическим и астатическим звенями в цепи обратной связи. Аналоговый выходной сигнал пропорционален смещению интерферограммы, ее период $\lambda/2 = 316.4$ нм – масштаб калибровки. Диапазон частот данной модели системы ограничен сверху (~ 100 Гц), рекордное разрешение равно $0.01\ldots0.001$ нм в полосе 1 Гц [22]. Расширение динамического диапазона обеспечивает устройство автоматического переноса начала отсчета в нулевое положение при отклонении зеркала гальванометра до края решетки-растра (рис. 3а, кривая 1), переносы удаляются при обработке (рис. 3а, кривая 2 и рис. 4а).

В РИ100 в п. «Фрязино» (см. рис. 2б) применяется система регистрации модуляционного типа. Электромеханический модулятор 7 питается синусоидальным напряжением опорной частоты 12, 13 и

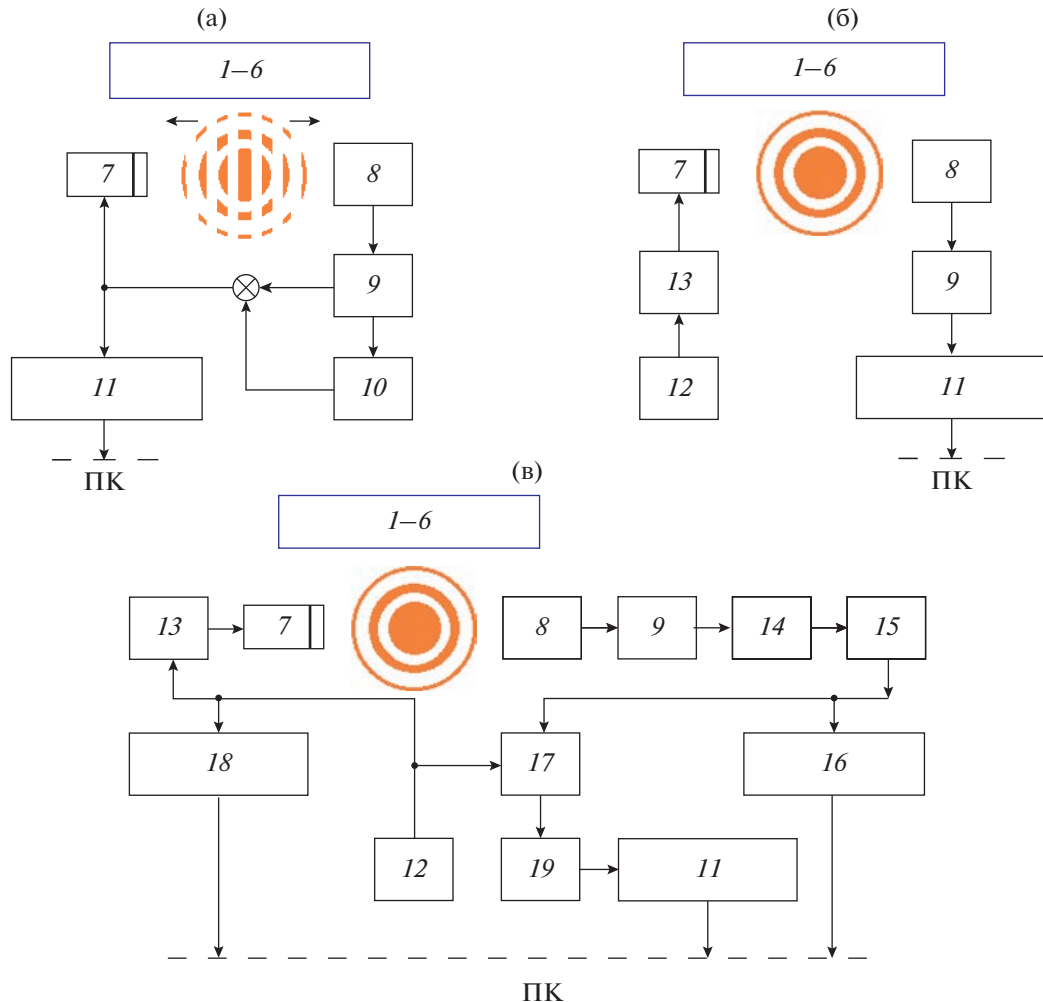


Рис. 2. Функциональные блок-схемы систем регистрации неравноплечих (а, в) и равноплечего (б) интерферометров-деформографов: 1–6 – элементы интерферометров НРИ100, РИ100 и НРИ18 (см. рис. 1), 7 – модулятор, 8 – фотоприемник, 9 – усилитель, 10 – интегратор, 11 – АЦП, 12 – опорная частота, 13 – генератор модулирующего напряжения, 14 – полосовой фильтр, 15 – преобразователь синус-мейндр, 16 – измерительный счетчик, 17 – фазовый детектор, 18 – опорный счетчик, 19 – ФНЧ.

формирует интерференционный сигнал. Вычисление разности фаз в пределах $0\dots2\pi$ и учет переходов через 2π выполняется персональный компьютер ПК на стадии обработки. Разрешение системы $0.1\dots1$ нм (рис. 3б и 4б).

В системе регистрации НРИ18 в п. “Карымшина” (см. рис. 2в) для выделения интерференционного сигнала используется пьезокерамический модулятор 7, подключенный к опорному генератору пилообразного напряжения 12, 13. Разность фаз между опорным (12, 13) и измерительным (8, 9, 14, 15) каналами измеряется фазовым детектором 17, а количество переходов через 2π вычисляется на ПК как разность показаний измерительного и опорного счетчиков (см. рис. 2в, 16 и 18 соответственно). Базовая точность регистрирующей системы составляет $\lambda/4 = 158$ нм, либо $\lambda/2 = 316$ нм в зависимости от настройки (рис. 3в и 5г). Линеа-

ризация выхода фазового детектора позволяет улучшить разрешающую способность системы до $0.1\dots1$ нм.

Для оцифровки сигналов в трех описанных системах используются 12...16-разрядные АЦП с частотой дискретизации до 2 кГц, результаты поступают и накапливаются в ПК.

В интерферометрах-деформографах с воздухо-наполненным защитным трактом присутствуют погрешности, связанные с изменениями показателя преломления воздуха, которые определяются температурой, влажностью и давлением окружающей атмосферы. Вклад первых двух факторов в термостабильных подземных помещениях не является существенным, но вариации атмосферного давления влияют на работу интерферометров любой конструкции [14, 23]. В этом случае

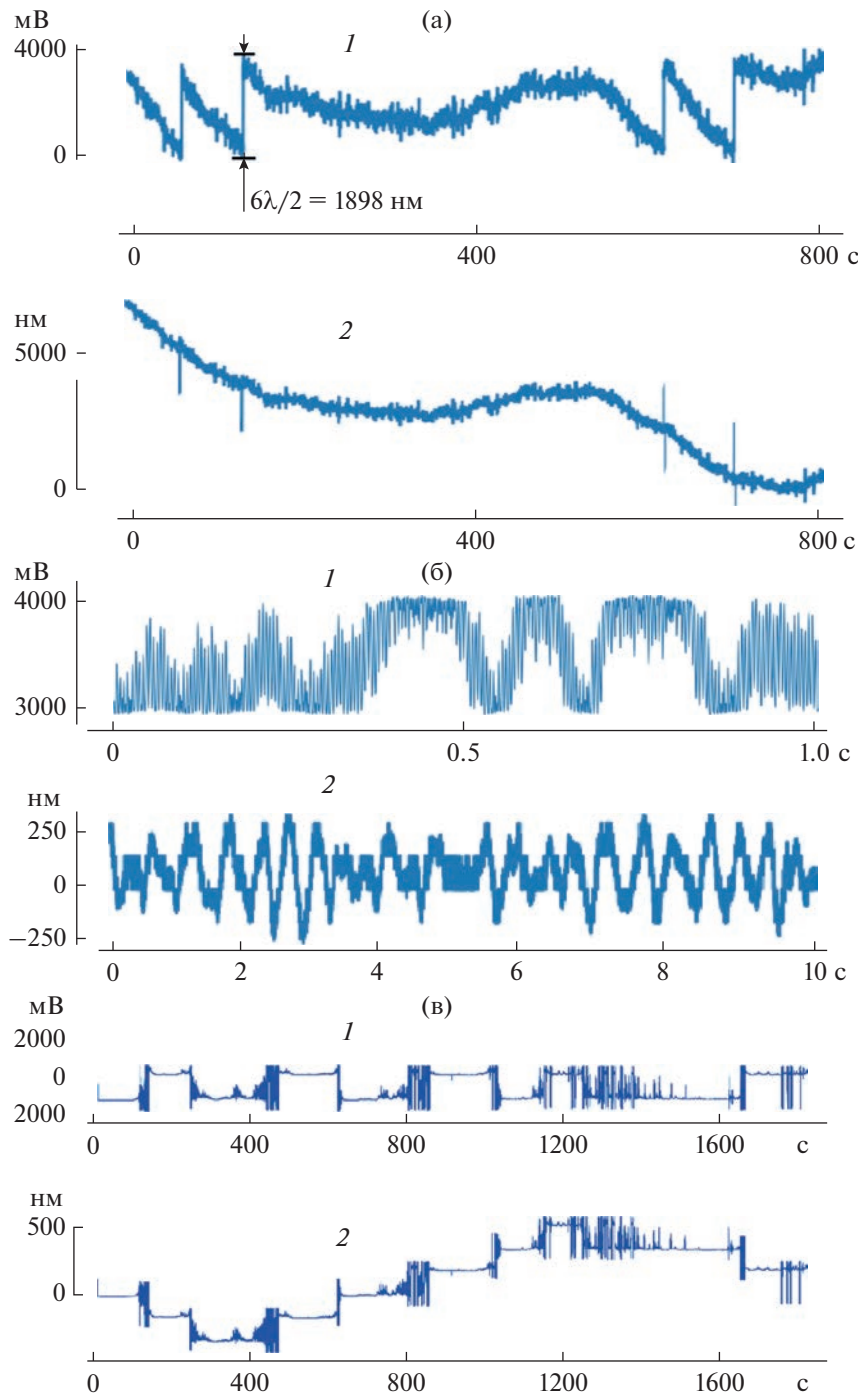


Рис. 3. Исходные записи интерференционных сигналов (1) в п. “Фрязино” для инструментов НРИ100 (а) и РИ100 (б) и в п. “Карымшина” для НРИ18 (в); результаты обработки соответствующих сигналов (2).

сигнал U на выходе системы регистрации лазерного интерферометра выражается соотношением

$$U = A\Delta l + B\Delta p, \quad (4)$$

где Δl — приращение длины деформографа, Δp — вариации атмосферного давления, коэффициент A — чувствительность интерферометра к деформациям, B — его барическая погрешность. Напри-

мер, для интерферометра НРИ100 в соответствии с рис. За величина коэффициента $A = 2 \times 10^3$ В/мм. Второй коэффициент B в соответствии с расчетами [14] для герметизированного интерферометра изменяется в диапазоне

$$B_1 = 3.6 \times 20 \text{ мВ/мбар} = 72 \text{ мВ/мбар}, \quad (5a)$$

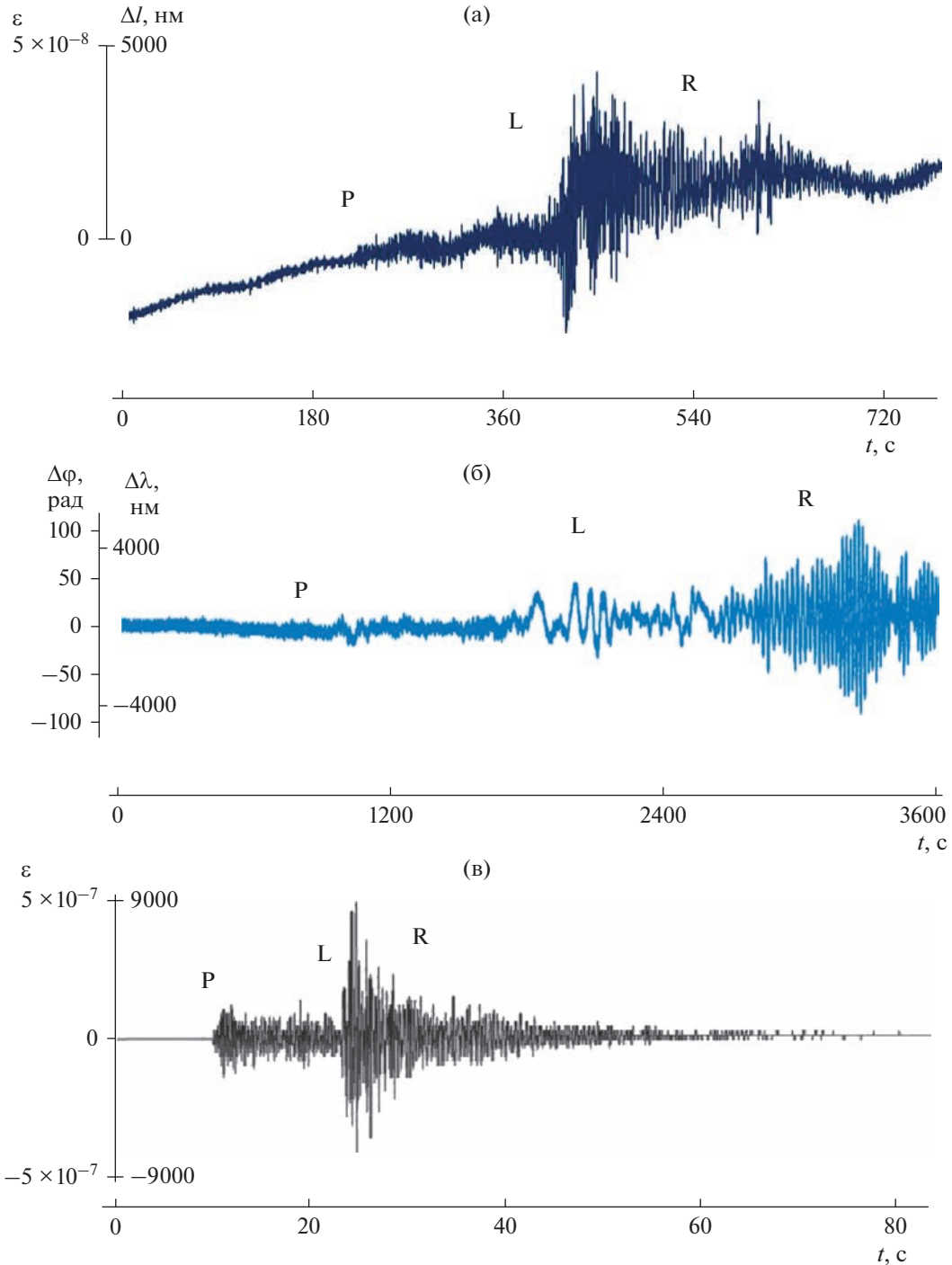


Рис. 4. Примеры регистрации удаленных землетрясений: 04.09.2018 г., Урал, $m_b = 5.4$ (а), 16.09.2015 г., Чили, $M_w = 8.3$ (б) и локального землетрясения 14.03.2016 г. у Восточного побережья Камчатки, $M_p = 4.5$ (в).

а для свободно связанного с атмосферой —

$$B_2 = 72 \text{ В/мбар.} \quad (56)$$

Важно отметить, что коэффициент B_1 (5а) для интерферометра-деформографа с герметизированной защитной трубой уменьшается всего лишь в ~ 4 раза (до $B_0 = 20 \text{ мВ/мбар}$) при ее замене на ва-

куумированную [23]. Вместе с тем при частичной связи измерительного плеча интерферометра с внешней атмосферой ($B_1 < B < B_2$) и измерении деформаций порядка прилива в твердой Земле $\varepsilon = \Delta l/l \sim 10^{-8} \dots 10^{-7}$ оба слагаемых в соотношении (4) становятся близкими по абсолютной величине и прибор одинаково эффективно регистрирует ли-

Таблица 1. Данные Единой геофизической службы РАН (ЕГС) и Геологической службы США (USGS) о землетрясениях

Дата (UTC) гг-мм-дд	Время (USGS/ЕГС), чч:мм:сс	Широта (USGS/ЕГС)	Долгота (USGS/ЕГС)	Магнитуда: M_w USGS/ M_s ЕГС	Район (USGS/ ЕГС)
2016-03-02	12:49:48	4.95° ю.ш.	94.3° в.д.	M_w 7.8	Юго-западнее Суматры, Индонезия
	12:49:46	4.78° ю.ш.	94.26° в.д.	M_s 7.5	
2017-09-08	04:49:19	15.0° с.ш.	93.9° з.д.	M_w 8.2	101 км ЮЮВ от Трес Пикос, Мексика Побережье Чьяпас, Мексика
	04:49:19	15.0° с.ш.	93.69° з.д.	M_s 8.3	
2020-01-28	19:10:24	19.42° с.ш.	78.8° з.д.	M_w 7.7	Карибское м. (ССЗ от Люсии, Ямайка) Район Кубы (между Кубой и Ямайкой)
	19:10:25	19.54° с.ш.	78.8° з.д.	M_s 7.7	

Примечание. См. ссылки: ЕГС – [/www.ceme.gsras.ru/cgi-bin/new/catalog.pl](http://www.ceme.gsras.ru/cgi-bin/new/catalog.pl); USGS – [//earthquake.usgs.gov/earthquakes/](http://earthquake.usgs.gov/earthquakes/).

нейную комбинацию деформаций земной поверхности и вариаций атмосферного давления. Это свойство интерферометра-деформографа дает интересную возможность для изучения особенностей деформационно-барических процессов и их взаимосвязи с геодинамическими явлениями, ответственными как за процессы подготовки и развития крупных землетрясений [24, 25], так и за их воздействие на атмосферу Земли [24, 26].

2. РЕЗУЛЬТАТЫ СИНХРОННЫХ СЕЙСМОДЕФОРМАЦИОННЫХ НАБЛЮДЕНИЙ

Проанализируем наиболее крупные землетрясения, одновременно зарегистрированные интерферометрами в Московском регионе и на Камчатке в 2016–2020 гг. (табл. 1).

Особенностью сейсмограмм для интерферометров и деформографов любых типов является незначительная амплитуда короткопериодных объемных Р-волн по сравнению с записями стандартных сейсмических каналов [4]. Длиннопериодные поверхностные волны Релея (R) и Лява (L) имеют большие амплитуды и регистрируются интерферометрами с достаточной точностью (рис. 4а–4в).

Амплитуда деформации среды уменьшается с ростом длины сейсмической волны прямо пропорционально скорости ее распространения в среде [4, 6]. Скорости объемных Р-волн значительно превышают скорости локальных микросейсм, что затрудняет выделение Р-волн на фоне помех. Вместе с тем объемные телесейсмические волны в пункте регистрации всегда имеют большие углы выхода [27], и поэтому интерферометр с горизонтальным плечом, обладая более узкой диаграммой направленности [6, 11], здесь опять

находится в менее благоприятной ситуации по сравнению со стандартным сейсмоприемником маятникового типа. Поэтому чувствительность и инструментальная точность приборов для измерения относительных деформаций $\varepsilon = \Delta l/l$ в поле сейсмической волны при пересчете на абсолютные смещения ξ_k отдельных частиц среды должны быть сопоставимы с соответствующими параметрами стандартных сейсмических приборов. К настоящему времени эти условия реализуются в наиболее совершенных лазерно-интерферометрических инструментах и установках [1, 4, 5, 28].

2.1. Регистрация и выделение короткопериодных объемных Р-волн

Предварительные результаты регистрации землетрясения 02.03.2016 г. (см. табл. 1) лазерными интерферометрами в п. “Карымшина” и “Фрязино” рассмотрены в наших предыдущих публикациях [10, 25]. Ниже приведем более подробный анализ полученного экспериментального материала и уточнения результатов детальной обработки данных.

Фрагменты записей землетрясения показаны на рис. 5. Первые три минуты записей содержат вступления объемной продольной Р-волны. Записи длиннопериодных поверхностных L- и R-волн в течение 30...40 мин после вступления объемных волн приведены в правых колонках рис. 5а, 5б, 5г.

Неожиданным оказалось, что цифровая система регистрации интерферометра НРИ18 в п. “Карымшина” (см. рис. 5в, 5д), обладая меньшей точностью в условиях низкого уровня микросейсмических помех, за счет ее нелинейных свойств зафиксировала вступление объемных волн с большей чувствительностью. Спектрально-временной анализ данных позволяет точнее определить вре-

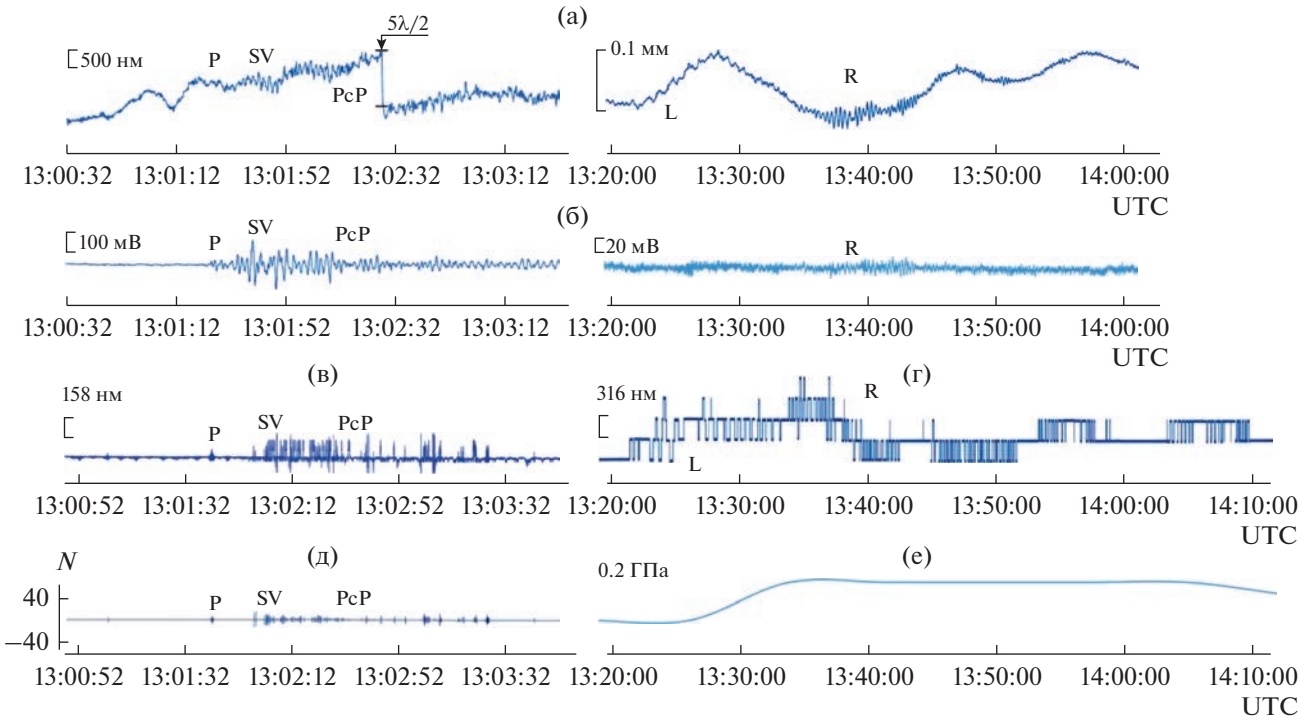


Рис. 5. Фрагменты синхронной регистрации землетрясения M_w 7.8 (юго-западнее Суматры 2016 г.), выполненные в п. “Фрязино” инструментом НРИ100 (а) и вертикальной Z-компонентой сейсмоприемника SNG-11 [29] (б) и в п. “Карымшина” инструментом НРИ18: сигнал на выходе фазового детектора (в), разность показаний измерительно-го и опорного счетчиков в нм (г) и единицах числа импульсов (д), вариации атмосферного давления в пункте “Карымшина” (е).

мена прихода, микроструктуру и частоты выделяемых волн (рис. 6).

Временная синхронизация удаленных инструментов осуществлялась по радиовещательным сигналам точного времени с погрешностью 1 с. Сравнение полученных результатов с данными ближайших сейсмических станций – Обнинск (OBN) и Петропавловск-Камчатский (PET) Единой геофизической службы РАН – представлено

в табл. 2. Времена прихода Р-волны согласуются с этими данными и соответствуют эпицентральным расстояниям: при возрастании Δ пропорционально увеличивается время пробега волны от гипоцентра до пункта регистрации. Расчетные оценки для средних скоростей распространения: 12.15 км/с (“Фрязино”) и 12.22 км/с (“Карымшина”) согласуются с классической моделью Земли Джеффриса–Гутенберга [30, 31] и совпадают с

Таблица 2. Времена прихода Р-волны от землетрясения 02.03.2016 г. (Юго-западнее Суматры M_w 7.8/ M_s 7.5; $t_0 = 12:49:48\ldots46$ UTC) по данным лазерных деформографов в пунктах “Фрязино”, “Карымшина” и сейсмических станций Обнинск и Петропавловск-Камчатский (www.ceme.gsras.ru/)

Пункт	Эпицентральное расстояние, км	Δ , град	Время прихода (UTC), чч:мм:сс	Время пробега
“Фрязино”	8470	76.31	13:01:25	11 м 37 с
“Карымшина”	8740	78.74	13:01:45	11 м 57 с
Обнинск	8510	76.67	13:01:35.8	11 м 48 с
Петропавловск-Камчатский	8760	78.92	13:01:50.4	12 м 02 с

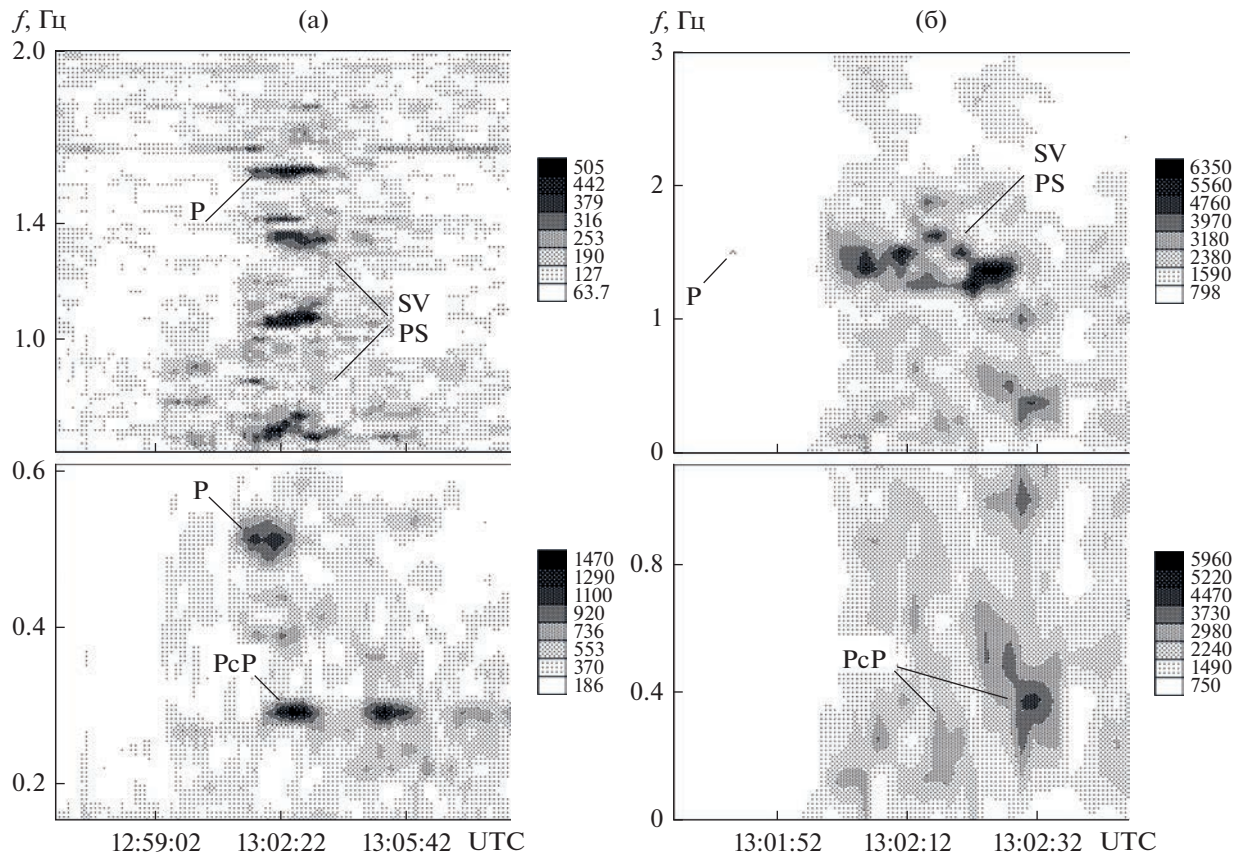


Рис. 6. Микроструктура спектрально-временных диаграмм времен прихода и частотных диапазонов объемных Р- и РсР-волн, а также обменных PS- и SV-волн, выделенных в пунктах “Фрязино” (а) и “Карымшина” (б) после землетрясения 02.03.2016 г., Суматра. Справа от каждой диаграммы – распределения в координатах время–частота для спектральной яркости, ее уровни (отн. ед.).

оценками по сейсмическим данным станций Обнинска и Петропавловск-Камчатского с точностью 1.07 и 0.74% соответственно.

Интересен спектральный состав и временная (фазовая) структура выделенных волновых пакетов. Р-волну, зарегистрированную в п. “Фрязино” в 13:01:25 UTC (см. рис. 5а), на спектрально-временной диаграмме состоит из ряда интерферирующих компонент в диапазоне 0.52...1.58 Гц (рис. 6а). При этом три из пяти компонент – 0.68, 1.06 и 1.36 Гц – появляются с задержкой ~30 с относительно Р-волны, содержащей две лидирующие компоненты 0.52 и 1.58 Гц. Три запаздывающие компоненты можно интерпретировать как рассеянные SV- и обменные PS-волны [30, 31], возбуждаемые основной Р-волной при ее отражении и прохождении через границы раздела, в данном случае – Подмосковный авлакоген [16] в 20...30 км от пункта установки приборов, а также границу Мохоровичича, залегающую здесь на глубине ~45...48 км. В отличие от приходящей снизу продольной Р-волны, SV- и PS-волны содержат значительные тангенциальные компоненты смещений земной поверхности и хорошо регистрируются го-

ризонтально расположенными интерферометрами. Это особенно отчетливо проявляется на спектрально-временной диаграмме в п. “Карымшина” (рис. 6б). Запаздывающие на 20...40 с фазы SV- и PS-волн (группа компонент в районе 1.2...1.5 Гц) в шесть–восемь раз интенсивнее основной Р-волны.

Четко на спектрально-временных диаграммах (см. рис. 6а и 6б) выделяются более низкочастотные, отраженные от земного ядра фазы РсР-волны [30, 31] с временем прихода 13:02:12 UTC (п. “Фрязино”) и 13:02:30 UTC (п. “Карымшина”), которые представлены спектральными компонентами в районе 0.29 и 0.37 Гц. Возможность разделения этих волн с помощью используемой методики представляется весьма интересной в связи с тем, что годографы Джейффриса для Р- и РсР-ветвей на эпицентральных расстояниях вблизи $\Delta = 80^\circ$ практически сливаются [30, 31].

Иная ситуация наблюдается при выделении объемных волн от более крупного землетрясения M_w 8.2 (Мексика 08.09.2017 г.) (см. табл. 1). Это мощное сейсмическое событие зарегистрировано

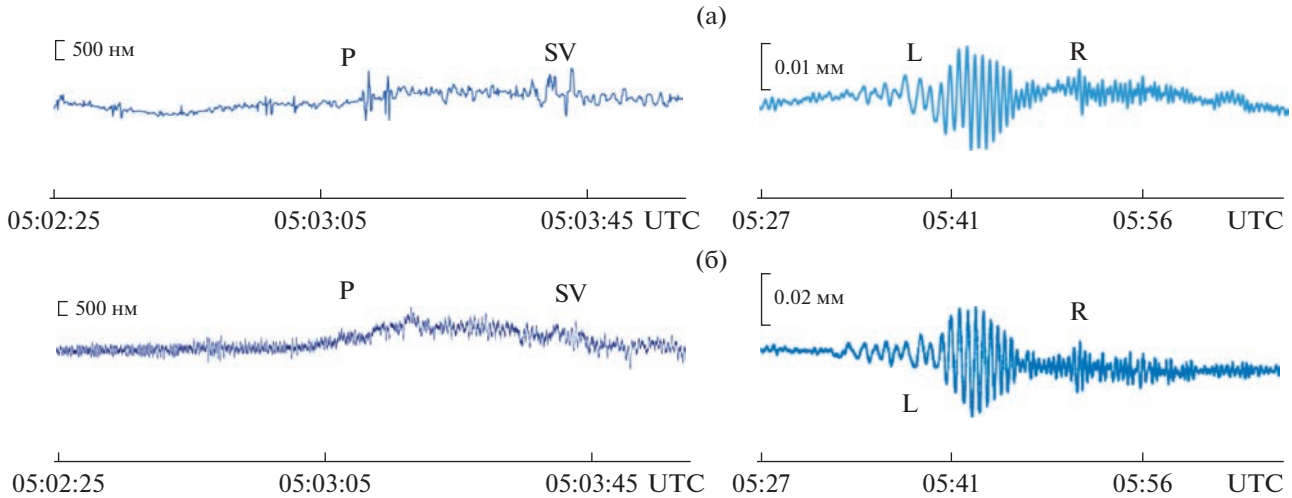


Рис. 7. Фрагменты записей землетрясения M_w 8.2 (2017 г., Мексика), выполненные инструментами НРИ100 (а) и РИ100 (б) в п. “Фрязино”: приход объемных волн (слева), регистрация поверхностных волн (справа).

в п. Фрязино интерферометрами НРИ100 и РИ100, расположенными на расстоянии 0.4 км друг от друга [11, 15] (рис. 7). Смещения Δl в момент прихода Р-волны (05:02:51...52 UTC) не превышают 100...200 нм для интерферометра НРИ100 (см. рис. 7а) и находятся на уровне микросейсмических помех на записи интерферометра РИ100 (см. рис. 7б). Это объясняется величиной эпицентralного расстояния ~ 10930 км ($\Delta \sim 98.5^\circ$) для п. “Фрязино”, который находится на границе зоны тени как для прямой Р-волны, так и для отраженных и рассеянных волн [30, 31]. В результате оба прибора регистрируют интерфирирующие цуги слабых дифрагированных волн каждого из указанных типов (см. рис. 7а и 7б).

Синхронные записи землетрясения 28.01.2020 (Карибское море), полученные интерферометрами в п. “Фрязино” и “Карымшина” приведены на рис. 8. Время в очаге 19:10:24...25 UTC указано вертикальными стрелками. Эпицентralное расстояние до обоих пунктов наблюдения здесь на 1300...1600 км больше, чем для землетрясения у берегов Суматры 2016 г. (см. начало данного подраздела), и траектория объемных волн соответственно ближе к зоне тени. Расчетное время вступления Р-волны на записях указано вертикальными линиями. Ее приход почти неразличим в п. “Фрязино” в связи с высоким уровнем микросейсм (а), и выделить волну возможно рассмотренным выше методом спектрально-временного анализа. Вступление Р-волны в п. “Карымшина” приходится на нелинейный участок характеристики системы регистрации с малым значением коэффициента преобразования A (см. формулу (4)), и амплитуда измеряемых колебаний становится меньше разрешающей способности систе-

мы регистрации 1...0.1 нм, что на 18-метровой базе соответствует величине относительных деформаций порядка

$$\varepsilon = \Delta l / l \sim 10^{-10} \dots 10^{-11}.$$

2.2. Низкочастотные и сверхнизкочастотные сейсмодеформационные колебания

Результаты регистрации низкочастотных (длиннопериодных) волн от рассматриваемых землетрясений (см. табл. 1) приведены в правых колонках на рис. 5а–5г и 7, в правых частях рис. 8а–8б и на рис. 9.

Поверхностные волны в п. “Фрязино” и “Карымшина” (см. рис. 5а и 5г) для цугов с максимальной амплитудой имеют характерные периоды 40...50 с (L-волны) и 15...25 с (R-волны). Базовая точность и масштаб записи на рис. 5г выражены в единицах $\lambda/2 = 316$ нм. Поверхностная поперечная волна L не содержит вертикальной компоненты смещений и отсутствует на записи сейсмического Z-канала (см. рис. 5б справа). Волна R, содержащая вертикальную и горизонтальную компоненты, на этой записи имеет заметную, хотя и незначительную амплитуду вследствие резкого падения амплитудно-частотной характеристики сейсмического канала в диапазоне периодов больше 10 с (собственная частота маятника SNG-11 составляет 5 Гц [29]). Время прихода наиболее интенсивных цугов L- и R-волн в п. “Фрязино” и “Карымшина” составляет соответственно 13:23:30...50 и 13:37:10...40 UTC. С учетом эпицентralных расстояний каждого из пунктов (см. табл. 2) получены оценки средних скоростей распространения этих волн: $V_L = 4.17 \dots 4.30$ км/с и $V_R = 2.96 \dots 3.06$ км/с,

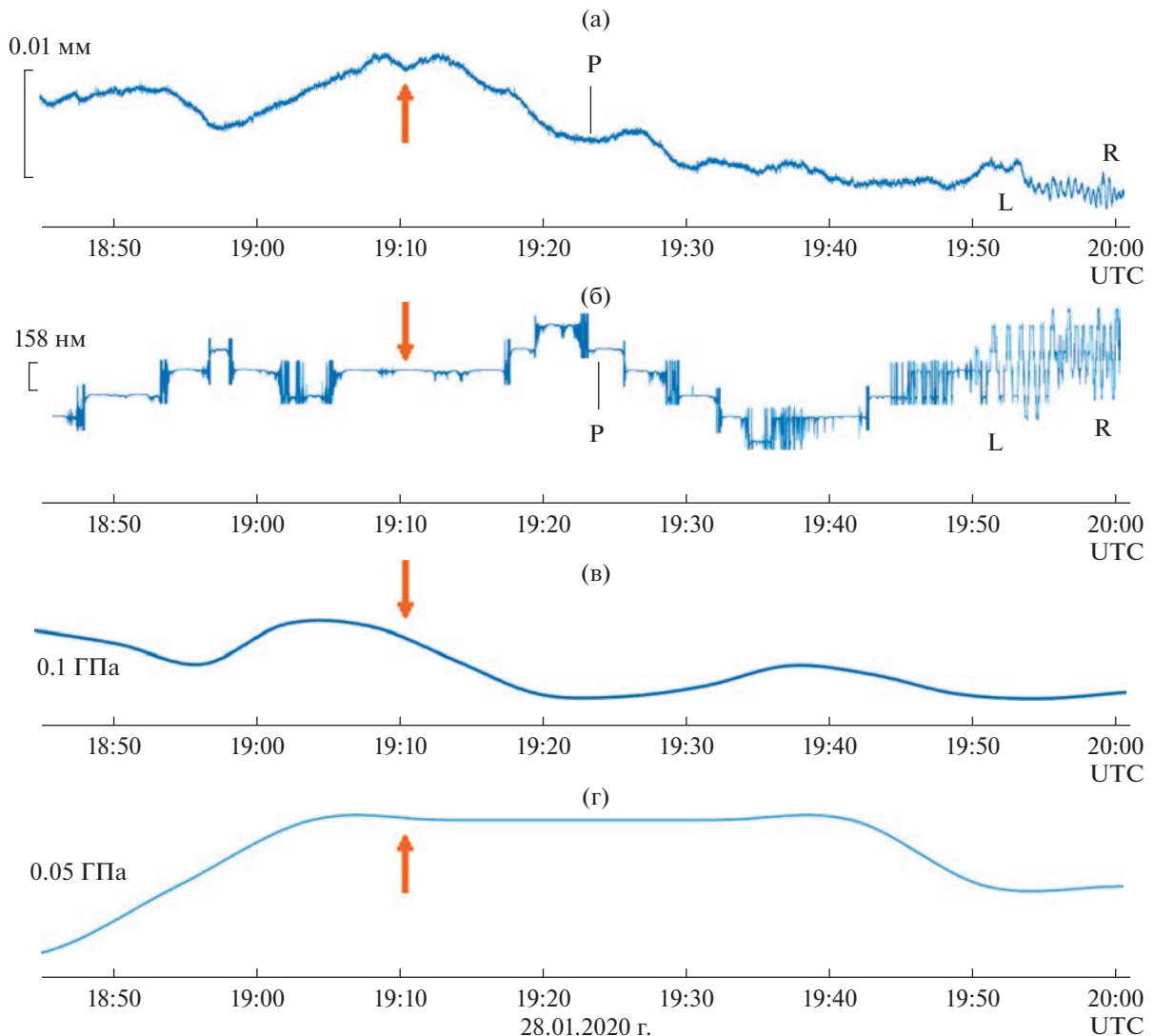


Рис. 8. Синхронные записи землетрясения M_w 7.7 (2020 г., Карибском море), выполненные инструментами НРИ100 (а) и НРИ18 (б) и вариации атмосферного давления соответственно в п. “Фрязино” (в) и “Карымшина” (г).

которые хорошо согласуются с величинами групповых скоростей L- и R-волн по независимым сейсмическим и тензометрическим измерениям [31, 32].

Сравнение поверхностных L- и R-волн от мексиканского M_w 8.2 землетрясения 08.09.2017, зарегистрированных двумя интерферометрами на Фрязинском лучеводном полигоне, дано в правой части рис. 7. Максимальные амплитуды L-волн сдвига для интерферометра РИ100 (рис. 7б справа) в 05:42 UTC достигают величины 20.2 мкм. Это примерно в два раза превышает максимальную амплитуду L-волн 10.5 мкм на записи интерферометра НРИ100 (рис. 7а слева). Расчетное отношение амплитуд для диаграмм направленности интерферометров РИ100 и НРИ100 в поле поперечной

волны равно 2 : 1 [6, 11], что с точностью $\sim 4\%$ соответствует экспериментально полученному значению.

Поверхностные L- и R-волны от землетрясения M_w 7.7 в Карибском море 28.01.2020, зарегистрированные в п. “Фрязино” и “Карымшина” с 19:40 до 20:00 UTC совершенно различны (см. рис. 8а и 8б). Хотя разность эпицентralьных расстояний для этих пунктов составляет всего лишь несколько процентов, волновые цуги различаются и в момент их максимальных амплитуд в 19:55...19:58 UTC (рис. 9): характерные периоды колебаний в п. “Фрязино” и “Карымшина” – 30 и 35 с соответственно. Это объясняется разностью фазовых скоростей этих волн [31] и геологией среды на пути их распространения: сигнал из Карибского

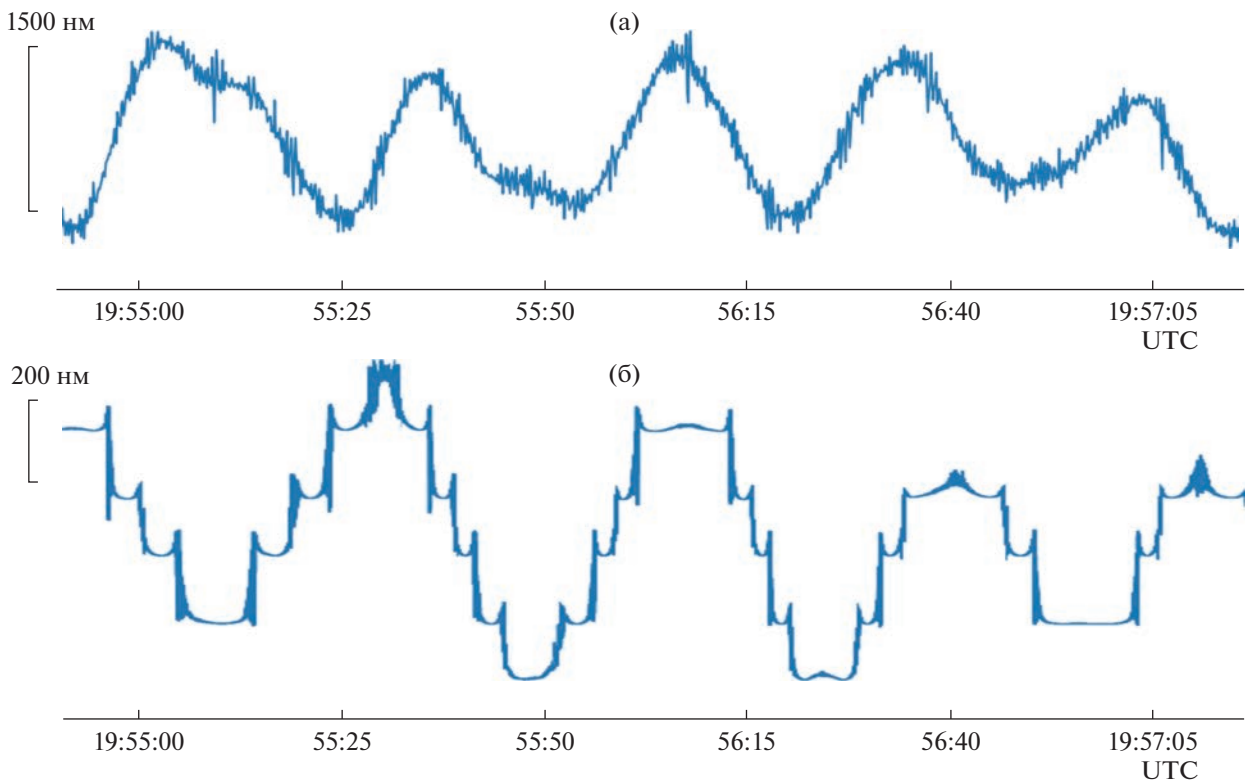


Рис. 9. Синхронные записи поверхностных волн, вызванных землетрясением M_w 7.7 (28 января 2020 г.): регистрация интерферометром НРИ100 “Фрязино” (а), регистрация интерферометром НРИ18 “Карымшина”, базовая точность $\lambda/4 = 158$ нм (б).

бассейна приходит в п. “Фрязино” через Атлантику и Западную часть Евразии, тогда как в п. “Карымшина” волна проходит вдоль бортов Тихоокеанской и Северо-Американской тектонических плит.

Кроме стандартных длиннопериодных L- и R-волн на рис. 5 и 8 видны особые сверхдлиннопериодные (сверхнизкочастотные) колебания с характерными периодами 10...40 мин. Амплитуда этих колебаний в три-четыре раза превышает амплитуду L- и R-волн, что указывает на возможное их барическое происхождение. К настоящему времени нами накоплен опыт, свидетельствующий о связи наблюдаемых деформационно-барических процессов с активностью тропических циклонов в Мировом океане, часто предшествующих сильным землетрясениям и выступающим здесь в роли их триггерного механизма [25, 33].

Так, землетрясение 02.03.2016 г. (Суматра, M_w 7.8) можно связать с развитием мощного тропического циклона Winston (высшей категории 5 SSHWS) в южной части Тихого океана в феврале 2016 г. и завершением его активности 03.03.2016 г. у берегов Австралии. Карибское землетрясение 28.01.2020 г. (см. рис. 8) на границе

Северо- и Южно-Американской плит сопровождается очень редким явлением – развитием у берегов Бразилии (Южная Атлантика) субтропического циклона Kurumi 22–26.01.2020 г. и его ускоренным перемещением через границу раздела плит в сторону Африканской тектонической плиты.

Для обоих землетрясений (рис. 5 и 8) наблюдается корреляция сверхдлиннопериодных колебаний, зарегистрированных в пунктах “Фрязино” и “Карымшина” с характерной временной задержкой 7...8 мин. Подтверждением барического происхождения обнаруженных волн является корреляция сигналов лазерных интерферометров-деформографов и вариаций атмосферного давления (рис. 5е и 8в, 8г). Оценки деформационно-барического коэффициента B (4) для обоих инструментов в относительных единицах изменяются в пределах $1...3 \times 10^{-7}$ ГПа $^{-1}$.

2.3. Изучение синхронных записей микросейсмических деформаций

Микросейсмы непрерывно и повсеместно возбуждают земную кору в частотном диапазоне $10^{-2}...10^2$ Гц. В диапазоне периодов более 1 с, они

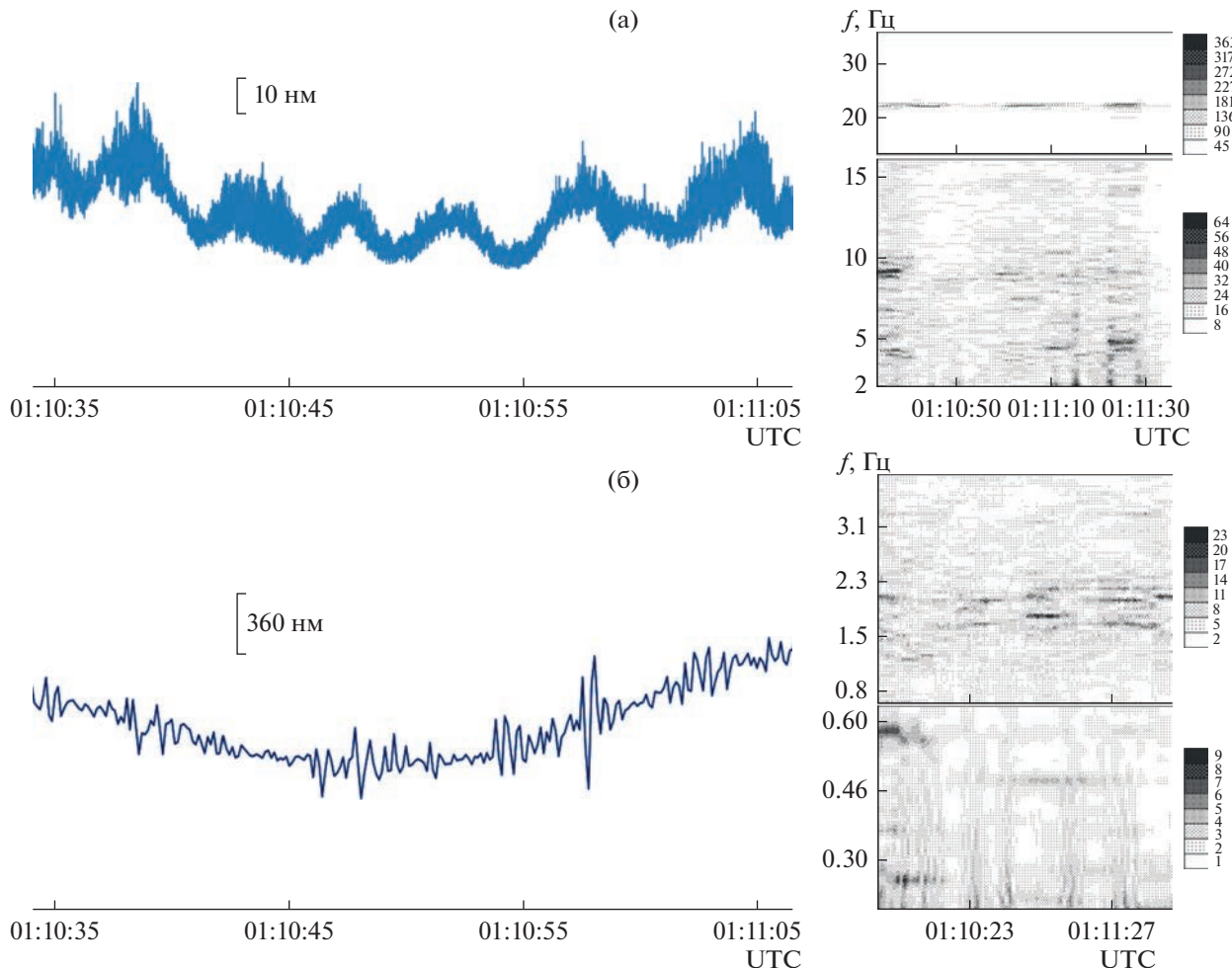


Рис. 10. Синхронные записи микросейсмических деформаций и их спектрально-временные диаграммы, полученные в пунктах “Карымшина” (а) и “Фрязино” (б) 28 января 2020 г.

вызываются океаническим прибоем, ветром и крупными метеорологическими возмущениями в океанах. Микросеймы в частотном диапазоне свыше 1 Гц обычно возбуждаются техногенными источниками и формируют пространственно распределенные частично когерентные сейсмические поля. Исследование свойств и поведения широкополосных микросейсмических колебаний рассматривается в качестве возможного метода изучения предвестников землетрясений [13, 25, 34].

Лазерный интерферометр позволяет исследовать характеристики микросейм в широких диапазонах частот и амплитуд. Вместе с тем система пространственно разнесенных лазерных интерферометров в состоянии определить когерентные свойства детектируемых микросейсмических полей. В течение 2016–2020 гг. лазерными интерферометрами в п. “Фрязино” и “Карымшина” выполнен ряд сеансов синхронного измерения микросейсмических деформаций. Примеры анализа

данных, полученных за 18 ч до землетрясения $M_w 7.7$ в Карибском море 2020 г. (см. табл. 1), приведены на рис. 10.

Система регистрации интерферометра НРИ18 (п. “Карымшина”) в линейном режиме фиксирует 4...6 с штормовые микросеймы (см. рис. 10а слева). Их относительно большая амплитуда 10...20 нм объясняется близостью (30...40 км) прибоя на тихоокеанском побережье. Обычные амплитуды 4...6 с штормовых микросейм из Атлантики, регистрируемые в Московском регионе (1000...1200 км до океанического побережья) составляют единицы нанометров для лазерного интерферометра такой же длины, установленного в глубокой штолле [3]. Синхронно работающий 100-метровый интерферометр в п. “Фрязино” фиксирует 0.3...0.4 с техногенные микросеймы (см. рис. 10б слева). Их амплитуды возрастают до 200...300 нм днем и уменьшаются в несколько раз в ночной период.

Результаты спектрально-временного анализа высокочастотных микросейсм показаны на (рис. 10 справа). В п. “Карымшина” (см. рис. 10а справа) выделяются пики на частотах 4.5, 9.1 и 14 Гц. Узкий и интенсивный пик 22 Гц является достаточно когерентным и обусловлен резонансными свойствами конструкции прибора. На спектрограммах интерферометра в п. “Фрязино” (см. рис. 10б справа) обнаруживаются следующие пики: 0.27, 0.49 и 0.59 Гц. Расщепленный спектральный пик на частоте около 1.9 Гц выделяется на верхней части спектрограммы рис. 10б и демонстрирует здесь умеренные когерентные свойства. Следует отметить, что сильное расщепление этого спектрального пика мы наблюдали с помощью этого же 100-метрового лазерного деформографа перед крупным M_w 8.3 землетрясением в Чили 16 сентября 2015 г. [25].

ЗАКЛЮЧЕНИЕ

Получены и проанализированы результаты уникальных экспериментов по синхронной регистрации сейсмодеформационных колебаний поверхности Земли тремя лазерными интерферометрами с измерительными базисами 18...100 м, разнесеными на расстояние 6740 км. Используемые методы и достигнутые результаты, судя по опубликованным к настоящему времени данным, являются оригинальными и получены впервые.

Применяемые в качестве источников излучения, частотно-стабилизированные и термоуправляемые лазеры совместно с регистрирующими системами компенсационного и модуляционного типов, измеряющими сдвиги интерферограммы, обеспечивают абсолютное инструментальное разрешение 0.1...0.01 нм на интерферометрических базисах протяженностью до 100 м.

Эффективность предложенных методов продемонстрирована на примерах регистрации удаленных землетрясений M_w 7.7...8.2 и выделения используемых в сейсмологии объемных и поверхностных волн. Представлены результаты спектрального анализа данных, полученных в сеансах синхронных наблюдений в течение 2016–2020 гг. Проведено сравнение результатов регистрации с данными региональных и глобальных сейсмических служб. Развитие предложенных методов может быть полезно для обнаружения и идентификации предвестников крупных сейсмических событий и других опасных природных явлений.

Авторы заявляют об отсутствии конфликта интересов.

ФИНАНСИРОВАНИЕ РАБОТЫ

Работа выполнена в рамках государственных заданий ИРЭ им. В.А. Котельникова РАН (тема 0030-2019-0014) и ИКИР ДВО РАН (тема АААА-A21-121011290003-0).

СПИСОК ЛИТЕРАТУРЫ

1. *Takemoto S., Momose H., Araya A. et al.* // *J. Geodynamics*. 2006. V. 41. № 1–3. P. 23.
2. *Amoruso A., Crescentini L.* // *J. Geodynamics*. 2009. V. 48. № 3–5. P. 120.
3. *Volkov V.A., Dubrov M.N.* // *Marees Terrestres Bull. d'Informations*. 2014. V. BIM-148. P. 11971.
4. *Николаев А.В., Луканенков А.В., Дубров М.Н.* // *ДАН*. 2010. Т. 430. № 6. С. 816.
5. *Barbour A.J., Agnew D.C.* // *Bull. Seismological Soc. Amer.* 2012. V. 102. № 6. P. 2484.
6. *Дубров М.Н., Матвеев Р.Ф.* // *РЭ*. 1998. Т. 43. № 9. С. 1147.
7. *Spudich P., Fletcher J.B.* // *Bull. Seismological Soc. Amer.* 2008. V. 98. № 4. P. 1898.
8. *Dubrov M.N., Aleksandrov D.V.* // *Proc. 6th Int. Conf. Antenna Theory and Techniques*. Sevastopol. 17–21 Sep. 2007. N.Y.: IEEE, 2007. P. 307.
9. *Долгих Г.И.* // *Письма в ЖТФ*. 2018. Т. 44. № 20. С. 46.
10. *Aleksandrov D., Dubrov M., Kravtsov V., Larionov I.* // *Proc. XI Int. Conf. Solar-Terrestrial Relations and Physics of Earthquake Precursors*. Paratunka. 22–25 Oct. 2020. Ser. E3S Web of Conf. V. 196. Les Ulis: EDP Sci. 2020. Article № 02010.
11. *Дубров М.Н., Кармалеева Р.М.* // *Изв. АН СССР. Физика Земли*. 1976. № 7. С. 81.
12. *Вардя В.П., Дубров М.Н., Коршунов И.П., Матвеев Р.Ф.* // *РЭ*. 1978. Т. 23. № 10. С. 2068.
13. *Dubrov M.N., Alyoshin V.A.* // *Tectonophysics*. 1992. V. 202. № 2–4. P. 209.
14. *Дубров М.Н., Латынина Л.А., Матвеев Р.Ф., Пономарев А.В.* // *Физика Земли*. 1998. № 12. С. 22.
15. *Александров Д.В., Дубров М.Н., Кравцов В.В.* // *Нелинейный мир*. 2018. Т. 16. № 2. С. 44.
16. *Колосова Н.Н., Чурилова Е.А.* Атлас Московской области. М.: Просвещение, 2004. С. 11.
17. *Ларионов И.А., Непомнящий Ю.А.* // *Вестн. КРАУНЦ. Физ.-мат. науки*. 2016. № 3. С. 85.
18. *Марапулец Ю.В., Руленко О.П., Ларионов И.А., Митченко М.А.* // *ДАН*. 2011. Т. 440. № 3. С. 403.
19. *Дубров М.Н.* Устройство для измерения перемещений и деформаций объектов. Пат. РФ № 2336495. Опубл. офиц. бюл. “Изобретения. Полезные модели” № 29 от 20.10.2008.
20. *Дубров М.Н.* Длиннобазовая лазерная интерферометрия: учет обратного рассеяния. М.: МФТИ, 2011.
21. *Дубров М.Н.* Следящая система для оптических интерферометров. А. с. СССР № 720292. Опубл. Б.И. № 9 от 05. 03.1980.

22. Dubrov M.N., Medvedev P.V. // Proc. 4th Int. Conf. on Advanced Optoelectronics and Lasers. Alushta. 29 Sep.–4 Oct. 2008. N.Y.: IEEE, 2008. P. 165.
23. Бергер Д., Ловберг Р. // Приборы для научных исследований. 1969. Т. 40. № 12. С. 41.
24. Дубров М.Н., Смирнов В.М. // Геомагнетизм и астрономия. 2013. Т. 53. № 1. С. 53.
25. Aleksandrov D.V., Dubrov M.N., Larionov I.A. et al. // J. Volcanology and Seismology. 2019. V. 13. № 3. P. 193.
26. Захаров В.И., Пилипенко В.А., Грушин В.А., Хамидуллин А.Ф. // Солнечно-земная физика. 2019. Т. 5. № 2. С. 114.
27. Автисов Г. П. // Геофизические методы разведки в Арктике. Л.: НИИГА, 1974. Вып. 9. С. 96.
28. Лоборев В.М., Перецов С.Ф., Судаков В.В. и др. Физика ядерного взрыва. Т. 5. Контроль ядерных испытаний. М.: Физматлит, 2017. С. 161.
29. SNG-11D/GSC-11D/OPEN. Проспект фирмы GeoSpase. Houston., 2006. <https://ds.iris.edu/ds/nrl/sensor/geospace/gs-11d/>.
30. Джессефрис Г. Земля, ее происхождение, история и строение. М.: Изд-во иностр. лит., 1960.
31. Жарков В.Н. Внутреннее строение Земли и планет. М.: Наука, 1983.
32. Karmaleyeva R.M., Latynina L.A., Savarensky E.F. // Pure and Appl. Geophys. 1970. V. 82. № 1. P. 85.
33. Volkov V., Mrrina J., Dubrov M. et al. // Geodesy and Geodynamics. 2020. V. 11. № 6. P. 442.
34. Sobolev G.A. // Natural Hazards and Earth Systems. Sci. 2011. V. 11. № 2. P. 445.